

III-24 水叩エンドシルの効果について

宮崎大学 工学部 正員 吉高 勲男
正員 高野 実利
甲斐 伊智雄

はじめに ダム水叩の設計において、一般には水叩衝に構造物を設けて強制跳水させ減勢させようとすることが多い。水叩下流端に設置されたシル（エンドシル）が必要な高さを求める場合、運動量理論によればこのときシルの動圧を知る必要がある。しかし、シル動圧が $L_0 < h_2$ のときに、開口から知ることはできらる。また、シルが適当な位置を決定する理論もない。よって水理模型実験で検討することとなる。このためも今まで多數のダム実験を実施してきたが、そのうち8ヶ所のシルを設置してそれが万能ではある。このときは、水叩水面振動とシル圧力振動を測り減勢効果を判定してきた。その方法論は前に発表した。
今回ではティミング型相関計（TEAC：C-120, F-120）により振動解析を行い、正確なシル動圧や振動量を求めた。それによりシルの効果を再検討したので、ここに報告する。

実験方法 田代八重ダム模型の水叩部に18cmに仕切り、高さ2.5, 4.0, 6.0cm（厚さ2.5cm）のシルを設け、下流水位を調節して、シル圧力ヒンジ地盤水位の変化を同時にテーターコードにて記録し、後はC-120, F-120で解析した。圧力はシルの中央部にストレインゲージ式圧力計を設け、水位（静圧）は密閉式水面計にて測定した。なお、ガラス管マノメーターでも平均値を検査した。

解析方法

跳水状況 シルによる強制跳水は定常跳水に較べ図-1のように逆流域が立つて大きくなり、下流水深 h_3 は共振水深 h_2 より深くなる。また、シルの近くまで高速流があり、それがシル動圧 P に変化する。 L_0 は定常跳水長であり、 $h_2 = L_0$ とした。射流断面 (h_1) と下流断面 (h_3) に検査面を参考運動量理論よりシル動圧 P を次式より求めた。

$$\frac{P}{B} = 1 + 2 \left(\frac{h_2}{h_1} \right)^3 - \left(\frac{h_2}{h_1} \right)^2 [2 \frac{h_2}{h_1} + \left(\frac{h_2}{h_1} \right)^2]$$

振動量の解析 振動量の自己相関函数とパワースペクトルは図-2、確率密度函数と分布函数は図-3に例示される。自己相関函数の第1値は振動の自乗平均でその平方根 \sqrt{P} は振動の強度である。

図-1 跳水状況（流量 5.0 l/s）

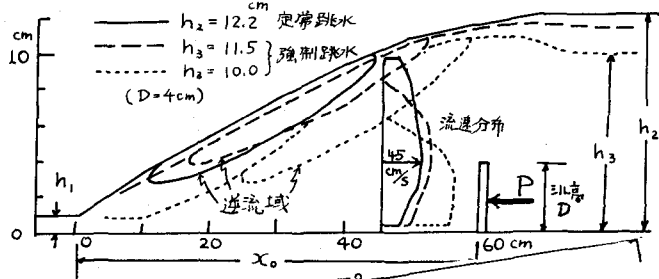


図-2 自己相関函数とパワースペクトル（シル圧力）

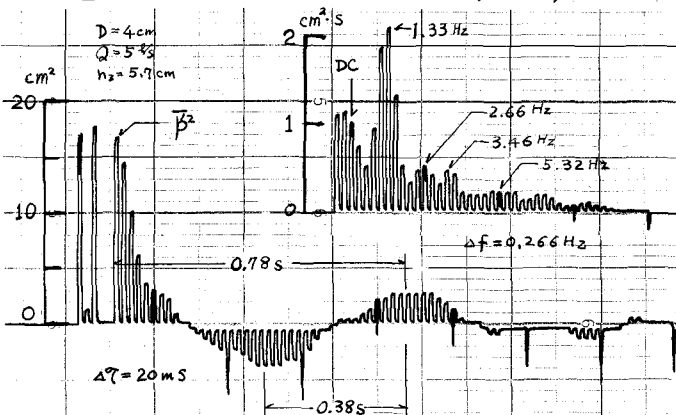
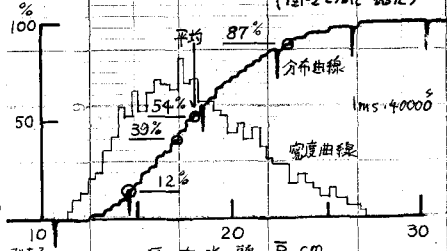


図-3 確率密度函数と確率分布函数
(図-2と同じ諸元)



ハフススペクトルで示すと、主周波数は 1.33 Hz ($1/f = 0.755$) で振動数も 4.5 倍。シル圧力振動の

今市曲線で $87, 39, 12\%$ 値 (夫々 Rayleigh 分布の $2.0, 0.9$ 倍) を検査してみると、 $87/39, 39/12$ の値は $\sigma^2/2$ に合る。よって振動は Rayleigh 分布をしていふと考へ、平均は 5.4 倍である。直流分も入力してあくまで圧力水頭 P や水位 h の絶対値を求める。そして $(P - P_0)$ を動圧 P とみたこととする。輻射曲線の分散 $\sigma^2 = (\frac{\pi^2}{2}) \alpha^2$ が平方根 S は標準偏差値であるか、振動の強度 $\sqrt{P^2 - P_0^2}$ とは同じ値となる。また、マノメーター値は輻射曲線で求めた値よりやや大きくなるが、振動による押上げが降伏によってもたらされる。

実験結果とその考察

下流水深とシル圧力

シル圧力の無次元値 $P/B \sim h_{\text{c}}^{1/2}$ と下流水深 h_s と限界水深 h_c との比 h_s/h_c と図-4 に示す。 h_s/h_c の範囲は $2.8 \sim 3.0$ でその理論値を併記した。 $D=2.5 \text{ cm}$ は理論値に近いか、 D が高くなり始めると理論値より離れてくる。海流流形が距離上では遷移型には必ず理輪式は適用できない。シル高がある高さ以上の場合、下流検査面を下流の定常断面にとっても意味がない。そして、シルが低の場合にはそれより下の $w_{0.5}$ は流体力学的るものであるか、高い場合は $w_{0.5} h_c^{1/2}$ という考え方では処理できず、單方せきの状態に反するのである。その境界を知るために、測定値 P_m と計算値 P_c の比 (各流量ごとの平均で h_s/h_c の差は 10%) と D/h_c の関係を整理すると図-5 となる。 P_m/P_c が 100% から離れると理輪式が適用できなくなるので、まだ少ないので実験値を示すが $D/h_c = 1.0$ が限界であるようだ。

振動比の変化

シル圧力と水面の振動量とシル全圧 P 、水深 h との比は図-6 のように X_0/L の減少によつて增加する。水印が遠ざかるほど振動が減じるるのは当然であるが、長く立つても圧力で 10% は残っている。 \sqrt{P}/P は P_0/P の 2 倍で、前回の検討と同じである。また大きな振動比のときマノメーターの誤差が大きい。

ハフススペクトル シル圧力のハフススペクトルは図-7 のようにある。同じ流量では f が増加するほど高周波分は消え、主周期は長くなる。すなはち振動はゆるやかになる。これらの主周期は跳水始発の上下変動の周期に近く、跳水表全部分を変動を示すものだ。

あわゆる運動量理論が適用できるのはエニドシルの高さが限界水深より低い場合であるが、それ以後、振動はちぢれの検討が不充分であります。明確ではない。高い場合、どのように補正するか今後の問題である。また、全く高い場合は、せきと考へた岩崎公式が充分である。

なお、この実験には三原英臣も参加していることを付記する。

図-4 下流水深 h_s ～シル圧力 P

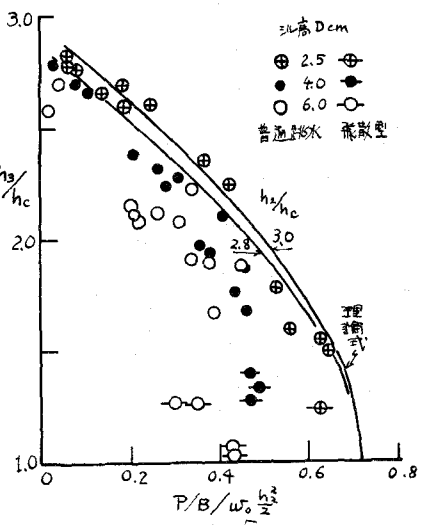


図-6 $(P/P_0) \sim X_0/L$ (P_0/P)

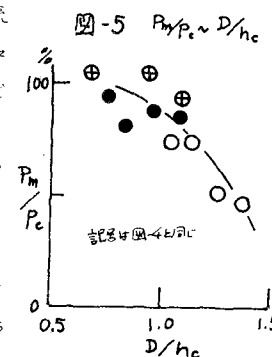


図-5 $P_m/P_c \sim D/h_c$

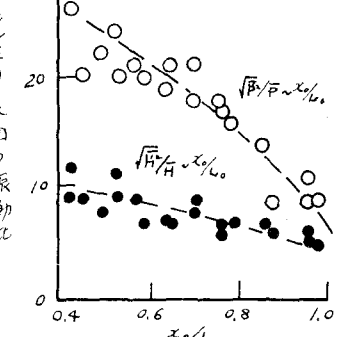
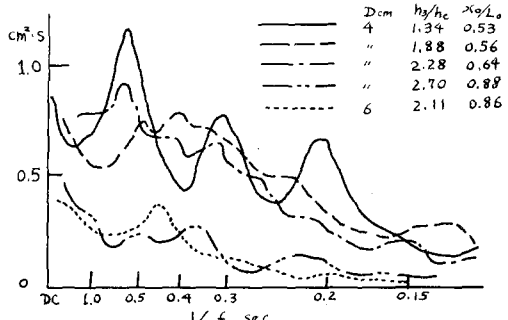


図-7 シル圧力のハフススペクトル (5.0%)



文献1) 吉高益男・島田英夫・高野宣利: 水印シルの圧力と水面振動との関連について、西日本港湾会議 第43-2